

Nb-Ti-Si 合金表面辉光离子渗 Mo/包埋渗 Si 制备 MoSi₂ 涂层的研究

曹正, 田晓东, 李宁, 王利捷, 吕娜

(长安大学 材料学院, 西安 710064)

摘要: 目的 在 Nb-Ti-Si 合金表面制备 MoSi₂ 涂层。方法 先进行辉光离子渗 Mo, 再进行包埋渗 Si。分析温度对渗 Mo 层表面形貌、厚度、元素互扩散的影响, 以及渗 Si 后涂层的表面形貌和结构。结果 在 1100 ℃ 进行辉光离子渗 Mo, 渗 Mo 层与基体形成了显著的互扩散。对渗 Mo 层进行包埋渗 Si 后, 所形成的涂层组织致密, 具有多层结构, 由外向内依次为 MoSi₂ 层、NbSi₂ 层和 Nb₅Si₃ 层, 在 MoSi₂ 和 NbSi₂ 层之间存在 (Mo, Nb)Si₂ 互扩散区。结论 通过辉光离子渗/包埋渗的方法, 可以在 Nb-Ti-Si 合金表面制备 MoSi₂ 涂层, 且涂层与基体呈冶金结合, 结合较好。

关键词: Nb-Ti-Si 合金; 辉光离子渗; 包埋渗; MoSi₂ 涂层

中图分类号: TG174.445 **文献标识码:** A **文章编号:** 1001-3660(2015)01-0068-04

Preparation of MoSi₂ Coating on Nb-Ti-Si Alloy by Glow Plasma Deposition of Mo/Pack Cementation of Si

CAO Zheng, TIAN Xiao-dong, LI Ning, WANG Li-jie, LYU Na

(School of Materials, Chang'an University, Xi'an 710064, China)

ABSTRACT: Objective To prepare the MoSi₂ coating on the surface of Nb-Ti-Si alloy. **Methods** The coating was prepared through glow plasma deposition of Mo and pack siliconization. The effects of temperature on the microstructure, thickness and element distribution of the deposited Mo layer were analyzed, and the coating structure of the Mo layer after siliconization was investigated. **Results** Elements inter-diffusion between the glow plasma deposited Mo layer and the substrate was significant at 1100 ℃; after siliconization, dense MoSi₂ coating was formed on the substrate. The MoSi₂ coating had a multi-layer structure. From the surface to the substrate, the MoSi₂ coating was consisted of the MoSi₂ layer, the NbSi₂ layer and the Nb₅Si₃ layer; a (Mo, Nb)Si₂ inter-diffusion zone was formed between the MoSi₂ layer and the NbSi₂ layer. **Conclusion** The MoSi₂ coating could be prepared on the surface of the Nb-Ti-Si alloy through glow plasma deposition of Mo/pack siliconization. The coating had metallurgical bonding with the substrate.

收稿日期: 2014-08-03; 修订日期: 2014-09-19

Received: 2014-08-03; Revised: 2014-09-19

基金项目: 国家自然科学基金项目(51201018); 陕西省大学生创新创业训练计划项目(201410710112)

Fund: Supported by the National Natural Science Foundation of China (51201018) and Shaanxi Provincial College Students' Innovation and Entrepreneurship Training Program (201410710112)

作者简介: 曹正(1986—), 男, 浙江人, 硕士, 主要从事材料表面改性的研究。

Biography: CAO Zheng (1986—), Male, from Zhejiang, Master, Research focus: surface modification of materials.

通讯作者: 田晓东(1980—), 男, 陕西人, 博士, 讲师, 主要从事材料表面改性方面的研究。

Corresponding author: TIAN Xiao-dong (1980—), Male, from Shaanxi, Ph. D., Lecturer, Research focus: surface modification of materials.

KEY WORDS: Nb-Ti-Si alloy; glow plasma deposition; pack cementation; MoSi₂ coating

Nb-Ti-Si合金熔点高,密度适中,高温力学性能好,在航空、航天和核工业等领域有着广泛的应用^[1]。但该合金高温抗氧化性较差^[2],易氧化生成无保护作用的氧化物^[3],因此在高温领域的应用受到限制。目前提高合金高温抗氧化性能的主要途径为:合金化法、细化晶粒法以及涂层保护法。合金化虽然可以在一定程度上改善铌基合金的高温抗氧化性,但过量加入合金元素会影响其力学性能,因此合金化具有一定的局限性^[4]。大量氧化研究结果表明,合金的抗氧化能力可以因晶粒尺寸的减小而得到一定的提高^[5],但是目前有关晶粒细化改善铌及铌合金抗氧化性能的深入研究比较少。而在合金表面制备抗氧化涂层是兼顾合金抗氧化与保持良好机械性能的有效途径。因此,在研究铌合金基体材料的同时,研究铌合金表面的抗高温氧化涂层是十分必要的^[6-7]。

铌基合金表面高温抗氧化涂层以硅化物涂层为主^[8],而MoSi₂具有优良的高温抗氧化性能,是极有潜力的涂层体系。肖来荣等^[9]采用料浆法先在C103铌合金基体上浸涂钼层,然后采用包渗法硅化制备MoSi₂涂层;殷磊等^[10]采用料浆烧结法在纯铌表面制备MoSi₂涂层;张中伟等^[11]通过等离子喷涂或电弧沉积制备Mo层,然后硅化获得MoSi₂涂层。然而,以上方法所形成的MoSi₂涂层多存在组织不致密或涂层与基体界面结合强度差的缺点。文中采用辉光离子渗和包埋渗相结合的方法,在Nb-Ti-Si合金表面制备MoSi₂涂层。通过辉光离子渗可在合金表面形成致密的Mo沉积层^[12],而包埋渗法则有助于涂层与基体间形成冶金结合。

1 实验

通过真空自耗电弧熔炼法制备新型铌基超高温母合金锭,名义成分为Nb-18Ti-14Si(原子数分数,%)。利用电火花线切割法从母合金锭上切取5 mm×5 mm×6 mm试样,用80#—400#水砂纸依次打磨,再用超声波清洗并吹干。

采用先辉光离子渗Mo,再包埋渗Si的方法制备MoSi₂涂层。辉光离子渗Mo温度为1050 °C和1100 °C,时间为4 h。Mo沉积源为纯Mo丝(其纯度为99.5%),Mo丝和基体间距离约为10 mm,沉积时气压约为32~35 Pa,Mo丝和试样所加电压约为650 V。

沉积Mo之前,用Ar离子轰击清洗试样表面。包埋渗Si温度为1300 °C,保温时间为5 h,渗剂组成为16Si-4NaF-80Al₂O₃(质量分数,%)。实验时,将被渗试样埋入装有渗剂的刚玉坩埚中,用高温粘结剂密封,装料后将包埋渗炉抽真空,随后充氩气保护。

利用Hitachi S-4800扫描电子显微镜(SEM)观察涂层形貌,利用Horiba X-Max能谱仪(EDS)分析涂层的成分及元素分布。采用Bruker D8AA25 X射线衍射仪分析涂层的物相组成,靶材为Cu靶。

2 结果与分析

2.1 渗Mo层组织形貌

Nb-Ti-Si合金在不同温度下辉光离子渗Mo,形成的渗Mo层表面SEM形貌(二次电子像)见图1。如图1a所示,1050 °C形成的渗Mo层表面由颗粒堆砌而成,颗粒分布均匀,无明显裂纹。如图1b所示,1100 °C形成的渗Mo层表面颗粒状不明显,无裂纹。可见当沉积温度为1100 °C时,获得的Mo层表面更为平整致密。

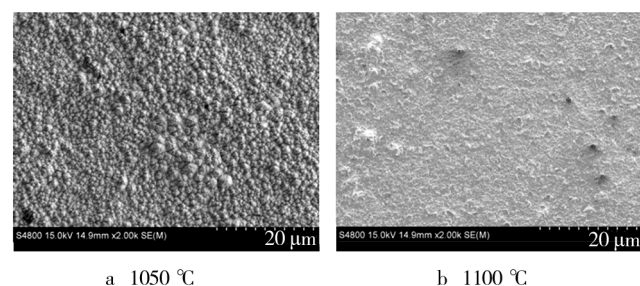


图1 不同温度下形成的渗Mo层表面SEM形貌

Fig. 1 Surface SEM images of Mo coatings formed at different temperatures

图2为渗Mo层的截面BES(背散射电子)形貌及线扫描图谱。可以看出,Mo沉积层组织致密,无裂纹或孔洞存在。1050,1100 °C形成的渗Mo层厚度分别约为23,43 μm,后者比前者厚,这与沉积温度升高有关^[13]。由图2中Nb,Mo元素的线扫描谱可以看出:Mo沉积层与基体间形成了互扩散层,1050 °C时厚约1 μm,1100 °C时厚约3 μm。1100 °C形成的互扩散层比1050 °C形成的厚,这主要是温度升高,原子扩散能力增强的原因。

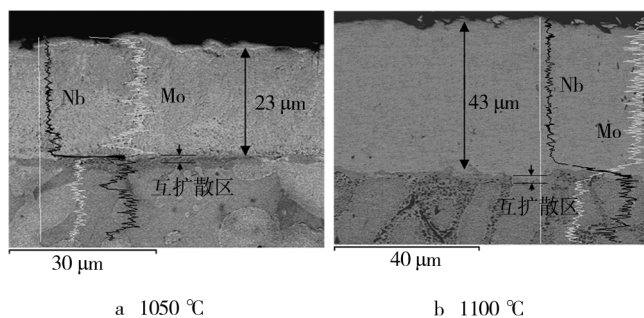


图2 不同温度下形成的渗Mo层截面BSE形貌及线扫描图谱

Fig. 2 Cross-sectional BSE images and elements line scanning of

Mo coatings formed at different temperatures

2.2 MoSi₂涂层的组织形貌与结构

Nb-Ti-Si合金在1100℃进行4 h辉光离子渗Mo，再在1300℃进行5 h包埋渗Si，所形成的涂层表面和截面形貌见图3，表面和截面XRD图谱见图4。进行截面XRD分析前，将涂层自表面磨去了约100 μm。

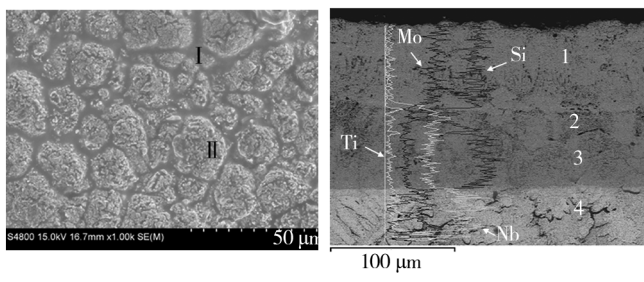


图3 辉光离子渗Mo/包埋渗Si后涂层形貌及线扫描分析

Fig. 3 SEM image and elements line scanning of the coating pre-

pared by glow plasma deposition of Mo/pack siliconization

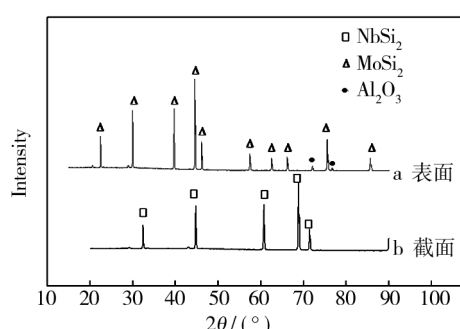


图4 辉光离子渗Mo/包埋渗Si后涂层XRD图谱

Fig. 4 XRD patterns of the coating prepared by glow plasma dep-

osition of Mo/pack siliconization

由图3a可以看出，包埋渗Si后，表面形成了岛屿状组织，对其进行EDS成分分析表明：I处主要为Al，O和Si元素；II处主要为Mo和Si元素，且Mo/Si原

子比约为1:2。结合图4曲线a可知，I处主要是包埋渗过程中粘附在表面的渗剂，II处为形成的MoSi₂相。有研究表明，涂层表面所粘附的渗剂对涂层的抗氧化性能有益^[14]。

由图3b可以看出，包埋渗Si后所形成的涂层组织较致密，无裂纹存在。对1,2,3,4区域进行成分分析，结果如表1所示。结合图3b中的线扫描图谱及图4的XRD分析，涂层由外向内可分为三层：MoSi₂层、NbSi₂层和Nb₅Si₃层。MoSi₂层和NbSi₂层之间存在厚约4 μm的互扩散区，结合能谱分析可知，互扩散区组成为(Mo,Nb)Si₂，应是渗Mo时形成的互扩散区硅化而来。MoSi₂层厚约70 μm，较渗Si前的Mo层明显增厚，这是由于MoSi₂和Mo的摩尔体积分别为24.1, 9.4 cm³/mol^[15-16]，反应扩散形成硅化物后体积增大所致。NbSi₂层厚约63 μm。Nb₅Si₃层厚约3 μm，是Mo层完全硅化后，Si继续向内扩散并与基体发生反应形成的^[17]，其厚度与包埋渗Si的温度和时间有关。(Mo,Nb)Si₂与Nb₅Si₃层的形成有助于增强涂层各层间及涂层与基体间的结合强度^[10,17]。

表1 图3b中不同区域能谱分析

Tab. 1 EDS analyses of the different zones in Fig. 3b

区域	原子数分数/%			
	Mo	Nb	Si	Ti
1	34.24	—	65.70	0.06
2	18.64	10.76	61.52	0.12
3	—	29.76	67.14	3.10
4	—	18.07	15.22	5.38

3 结论

通过辉光等离子渗Mo后包埋渗Si的方法，可以在Nb-Ti-Si合金表面制备组织致密且与基体呈冶金结合的MoSi₂涂层。在1100℃进行辉光离子渗Mo，形成的渗Mo层与基体形成了显著的互扩散；再进行包埋渗Si，形成了具有多层结构的涂层，由外向内依次为MoSi₂层、NbSi₂层和Nb₅Si₃层，在MoSi₂层和NbSi₂层之间存在(Mo,Nb)Si₂互扩散区。

参考文献

- [1] WANG Dong-hui, ZHANG Xin, LI Zhong-kui, et al. The Mechanical Properties and Strengthening Mechanism of Nb-

- based Super-alloys [J]. Procedia Engineering, 2012, 27: 1233—1240.
- [2] SARATH E, MENON K, MADAN G M. High Temperature Oxidation in Multicomponent Nb Alloys [J]. Material Science Forum, 2005, 475—479: 717—720.
- [3] 王镐. 高温铌合金[J]. 稀有金属快报, 1999, 18(6): 9—12.
WANG Hao. High Temperature Niobium Alloy [J]. Rare Metals Letters, 1999, 18(6): 9—12.
- [4] NICHOLLS J R. Advances in Coating Design for High-performance Gas Turbines [J]. MRS Bulletin, 2003, 9: 659—670.
- [5] 楼翰一. 高温合金微晶涂层的发展[J]. 吉林工学院学报, 1997, 18(3): 1—8.
LOU Han-yi. Development of Microcrystalline Coatings of Superalloys [J]. Journal of Jilin Institute of Technology, 1997, 18(3): 1—8.
- [6] 田晓东, 郭喜平. 铌基超高温合金表面包埋Si-Y共渗涂层的显微组织[J]. 金属学报, 2008, 44(5): 585—588.
TIAN Xiao-dong, GUO Xi-ping. Microstructure of Si-Y Co-deposition Coating Prepared on a Nb-based Ultrahigh Temperature Alloy by Pack Cementation Process [J]. Acta Metallurgica Sinica, 2008, 44(5): 585—588.
- [7] 赵群, 于永泗. 铌基合金的抗高温氧化性研究[J]. 材料导报, 2003, 17(2): 29—31.
ZHAO Qun, YU Yong-si. Research on Nb-based Alloys' High Temperature Oxidation Resistance [J]. Materials Review, 2003, 17(2): 29—31.
- [8] 肖来荣, 易丹青, 殷磊, 等. 铌及铌合金高温涂层研究进展[J]. 材料导报, 2004, 18(1): 13—15.
XIAO Lai-rong, YI Dan-qing, YIN Lei, et al. Progress in Research on High Temperature Protective Coating of Nb and Nb-based Alloys [J]. Materials Review, 2004, 18(1): 13—15.
- [9] 肖来荣, 易丹青, 蔡志刚, 等. 包渗法制备硅化物涂层的结构形貌及形成机理[J]. 中南大学学报(自然科学版), 2008, 39(1): 48—53.
XIAO Lai-rong, YI Dan-qing, CAI Zhi-gang, et al. Microstructure and Formation Mechanism of Silicide Coating Prepared by Pack Cementation [J]. Journal of Central South University (Science and Technology), 2008, 39(1): 48—53.
- [10] 殷磊, 易丹青, 肖来荣, 等. 铌表面MoSi₂高温涂层的形貌和结构研究[J]. 稀有金属材料与工程, 2005, 34(1): 91—94.
YIN Lei, YI Dan-qing, XIAO Lai-rong, et al. Morphology and Structure of MoSi₂ Coating on Niobium Alloy [J]. Rare Metal Materials and Engineering, 2005, 34(1): 91—94.
- [11] 张中伟, 王俊山, 许正辉, 等. 不同制备工艺对MoSi₂涂层抗氧化性能的影响[J]. 宇航材料工艺, 2007, 37(1): 58—60.
ZHANG Zhong-wei, WANG Jun-shan, XU Zheng-hui, et al. Preparation Processes Affecting Anti-oxidation Property of MoSi₂ Layer on SiC Coated C/C Composites [J]. Aerospace Materials & Technology, 2007, 37(1): 58—60.
- [12] 田晓东, 王利捷, 孙波. 沉积温度对TC4钛合金表面辉光离子渗Mo层组织和耐磨性能的影响[J]. 航空材料学报, 2013, 33(4): 43—47.
TIAN Xiao-dong, WANG Li-jie, SUN bo. Effects of Deposition Temperature on Microstructure and Wear Resistance of Mo Coating Prepared by Glow Plasma Deposition on TC4 Titanium Alloy [J]. Journal of Aeronautical Materials, 2013, 33(4): 43—47.
- [13] 田民波. 薄膜技术与薄膜材料[M]. 北京: 清华大学出版社, 2006.
TIAN Min-bo. Thin Film Technologies and Materials [M]. Beijing: Tsinghua University Press, 2006.
- [14] XIAO Lai-rong, CAI Zhi-gang, YI Dan-qing. Morphology Structure and Formation Mechanism of Silicide Coating by Pack Cementation Process [J]. Transactions of Nonferrous Metals Society of China, 2006, 16(5): 239—244.
- [15] TANG Zhi-hong, THOM Andrew J, KRAMER M J, et al. Characterization and Oxidation Behavior of Silicide Coating on Multiphase Mo-Si-B Alloy [J]. Intermetallics, 2008, 16: 1125—1133.
- [16] 谢辉, 张国君, 王德志, 等. 钼粉末冶金过程及钼材料[M]. 北京: 科学出版社, 2012.
XIE Hui, ZHANG Guo-jun, WANG De-zhi, et al. Molybdenum Powder Metallurgy Process and Molybdenum Materials [M]. Beijing: Science Press, 2012.
- [17] 赵陆翔. 铌硅化物基超高温合金包埋渗Si层的组织形成及高温抗氧化性能[D]. 西安: 西北工业大学, 2007.
ZHAO Lu-xiang. Microstructural Formation and High Temperature Oxidation Resistance of Pack Siliconized Coatings on an Nb Silicide Based Alloy [D]. Xi'an: Northwestern Polytechnical University, 2007.